

<sup>154</sup>Sm(<sup>30</sup>Si,5n $\gamma$ ) **1992Bu14**

Type	Author	History Citation	Literature Cutoff Date
Full Evaluation	Coral M. Baglin	NDS 110, 265 (2009)	15-Nov-2008

E(<sup>30</sup>Si)=155 MeV; 20 Compton-suppressed Ge detectors (HERA array); measured E $\gamma$ , I $\gamma$ ,  $\gamma\gamma$  coin, directional correlation from oriented nuclei (DCO) ratios ( $\theta=37^\circ$  (or  $153^\circ$ ) and  $79^\circ$  (or  $103^\circ$ )).

<sup>179</sup>Os Levels

E(level) <sup>†</sup>	J $\pi$ <sup>‡</sup>	E(level) <sup>†</sup>	J $\pi$ <sup>‡</sup>	E(level) <sup>†</sup>	J $\pi$ <sup>‡</sup>	E(level) <sup>†</sup>	J $\pi$ <sup>‡</sup>
0.0 <sup>g</sup>	1/2 <sup>-</sup>	1194.3 <sup>c</sup>	19/2 <sup>-</sup>	2998.5 <sup>b</sup>	33/2 <sup>-</sup>	5307.1 <sup>@</sup>	49/2 <sup>-</sup>
86.3 <sup>h</sup>	3/2 <sup>-</sup>	1229.4 <sup>d</sup>	(17/2) <sup>-</sup>	3046.1 <sup>a</sup>	35/2 <sup>+</sup>	5492.0 <sup>#</sup>	49/2 <sup>+</sup>
100.3 <sup>g</sup>	5/2 <sup>-</sup>	1315.9 <sup>f</sup>	19/2 <sup>-</sup>	3073.2 <sup>h</sup>	31/2 <sup>-</sup>	5604.4 <sup>b</sup>	49/2 <sup>-</sup>
115.2 <sup>e</sup>	5/2 <sup>-</sup>	1317.9 <sup>a</sup>	23/2 <sup>+</sup>	3151.8 <sup>g</sup>	33/2 <sup>-</sup>	5834.5 <sup>f</sup>	51/2 <sup>-</sup>
145.5 <sup>c</sup>	7/2 <sup>-</sup>	1417.8 <sup>b</sup>	21/2 <sup>-</sup>	3259.1 <sup>&amp;</sup>	37/2 <sup>+</sup>	5945.2 <sup>a</sup>	51/2 <sup>+</sup>
195.9 <sup>d</sup>	(5/2) <sup>-</sup>	1427.5 <sup>&amp;</sup>	25/2 <sup>+</sup>	3274.5 <sup>f</sup>	35/2 <sup>-</sup>	5978.0 <sup>c</sup>	51/2 <sup>-</sup>
210.7 <sup>f</sup>	7/2 <sup>-</sup>	1448.4 <sup>h</sup>	19/2 <sup>-</sup>	3300.9 <sup>c</sup>	35/2 <sup>-</sup>	6071.8 <sup>@</sup>	53/2 <sup>-</sup>
243.0 <sup>&amp;</sup>	9/2 <sup>+</sup>	1503.1 <sup>g</sup>	21/2 <sup>-</sup>	3379.8 <sup>@</sup>	37/2 <sup>-</sup>	6118.9 <sup>&amp;</sup>	53/2 <sup>+</sup>
273.1 <sup>b</sup>	9/2 <sup>-</sup>	1566.6 <sup>e</sup>	21/2 <sup>-</sup>	3519.3 <sup>d</sup>	(33/2) <sup>-</sup>	6306.7 <sup>#</sup>	53/2 <sup>+</sup>
286.7 <sup>a</sup>	11/2 <sup>+</sup>	1654.3 <sup>c</sup>	23/2 <sup>-</sup>	3616.4 <sup>b</sup>	37/2 <sup>-</sup>	6321.8 <sup>b</sup>	53/2 <sup>-</sup>
296.5 <sup>h</sup>	7/2 <sup>-</sup>	1738.9 <sup>d</sup>	(21/2) <sup>-</sup>	3699.5 <sup>a</sup>	39/2 <sup>+</sup>	6621.5 <sup>f</sup>	55/2 <sup>-</sup>
320.2 <sup>g</sup>	9/2 <sup>-</sup>	1833.4 <sup>f</sup>	23/2 <sup>-</sup>	3784.3 <sup>g</sup>	37/2 <sup>-</sup>	6738.8 <sup>c</sup>	55/2 <sup>-</sup>
336.6 <sup>e</sup>	9/2 <sup>-</sup>	1851.5 <sup>a</sup>	27/2 <sup>+</sup>	3808.8 <sup>f</sup>	39/2 <sup>-</sup>	6786.9 <sup>a</sup>	55/2 <sup>+</sup>
345.1 <sup>&amp;</sup>	13/2 <sup>+</sup>	1899.4 <sup>b</sup>	25/2 <sup>-</sup>	3920.3 <sup>&amp;</sup>	41/2 <sup>+</sup>	6917.7 <sup>@</sup>	57/2 <sup>-</sup>
424.5 <sup>c</sup>	11/2 <sup>-</sup>	1948.8 <sup>h</sup>	23/2 <sup>-</sup>	3931.8 <sup>c</sup>	39/2 <sup>-</sup>	7038.9 <sup>&amp;</sup>	57/2 <sup>+</sup>
436.5 <sup>d</sup>	(9/2) <sup>-</sup>	1985.5 <sup>&amp;</sup>	29/2 <sup>+</sup>	3964.9 <sup>@</sup>	41/2 <sup>-</sup>	7090.0 <sup>b</sup>	(57/2) <sup>-</sup>
487.2 <sup>f</sup>	11/2 <sup>-</sup>	2011.2 <sup>g</sup>	25/2 <sup>-</sup>	4021.1 <sup>#</sup>	41/2 <sup>+</sup>	7157.4 <sup>#</sup>	57/2 <sup>+</sup>
500.1 <sup>a</sup>	15/2 <sup>+</sup>	2106.7 <sup>e</sup>	25/2 <sup>-</sup>	4212.3 <sup>d</sup>	(37/2) <sup>-</sup>	7473.9 <sup>f</sup>	59/2 <sup>-</sup>
589.6 <sup>&amp;</sup>	17/2 <sup>+</sup>	2159.9 <sup>c</sup>	27/2 <sup>-</sup>	4260.2 <sup>b</sup>	41/2 <sup>-</sup>	7553.3 <sup>c</sup>	59/2 <sup>-</sup>
594.3 <sup>b</sup>	13/2 <sup>-</sup>	2297.9 <sup>d</sup>	(25/2) <sup>-</sup>	4399.1 <sup>a</sup>	43/2 <sup>+</sup>	7666.9 <sup>a</sup>	59/2 <sup>+</sup>
607.2 <sup>h</sup>	11/2 <sup>-</sup>	2376.9 <sup>f</sup>	27/2 <sup>-</sup>	4421.4 <sup>f</sup>	43/2 <sup>-</sup>	7843.7 <sup>@</sup>	61/2 <sup>-</sup>
641.4 <sup>g</sup>	13/2 <sup>-</sup>	2417.9 <sup>b</sup>	29/2 <sup>-</sup>	4464.7 <sup>g</sup>	41/2 <sup>-</sup>	8016.9 <sup>&amp;</sup>	61/2 <sup>+</sup>
663.0 <sup>e</sup>	13/2 <sup>-</sup>	2431.4 <sup>a</sup>	31/2 <sup>+</sup>	4563.8 <sup>&amp;</sup>	45/2 <sup>+</sup>	8019.4 <sup>#</sup>	61/2 <sup>+</sup>
781.3 <sup>c</sup>	15/2 <sup>-</sup>	2471.5 <sup>@</sup>	29/2 <sup>-</sup>	4592.3 <sup>c</sup>	43/2 <sup>-</sup>	8406.3 <sup>c</sup>	63/2 <sup>-</sup>
788.2 <sup>d</sup>	(13/2) <sup>-</sup>	2489.1 <sup>h</sup>	27/2 <sup>-</sup>	4609.8 <sup>@</sup>	45/2 <sup>-</sup>	8555.9 <sup>a</sup>	63/2 <sup>+</sup>
856.1 <sup>a</sup>	19/2 <sup>+</sup>	2564.2 <sup>g</sup>	29/2 <sup>-</sup>	4720.5 <sup>#</sup>	45/2 <sup>+</sup>	8838.7 <sup>@</sup>	65/2 <sup>-</sup>
860.4 <sup>f</sup>	15/2 <sup>-</sup>	2604.1 <sup>&amp;</sup>	33/2 <sup>+</sup>	4929.7 <sup>b</sup>	45/2 <sup>-</sup>	9021? <sup>&amp;</sup>	(65/2) <sup>+</sup>
955.4 <sup>&amp;</sup>	21/2 <sup>+</sup>	2629.7 <sup>e</sup>	29/2 <sup>-</sup>	5101.0 <sup>f</sup>	47/2 <sup>-</sup>	9533? <sup>a</sup>	(67/2) <sup>+</sup>
981.0 <sup>b</sup>	17/2 <sup>-</sup>	2709.2 <sup>c</sup>	31/2 <sup>-</sup>	5147.6 <sup>a</sup>	47/2 <sup>+</sup>	9867.1? <sup>@</sup>	(69/2) <sup>-</sup>
997.0 <sup>h</sup>	15/2 <sup>-</sup>	2818.7 <sup>f</sup>	31/2 <sup>-</sup>	5177.7 <sup>g</sup>	45/2 <sup>-</sup>	10043? <sup>&amp;</sup>	(69/2) <sup>+</sup>
1041.8 <sup>g</sup>	17/2 <sup>-</sup>	2872.9 <sup>@</sup>	33/2 <sup>-</sup>	5268.8 <sup>c</sup>	47/2 <sup>-</sup>	11021.2? <sup>@</sup>	(73/2) <sup>-</sup>
1078.1 <sup>e</sup>	17/2 <sup>-</sup>	2894.3 <sup>d</sup>	(29/2) <sup>-</sup>	5291.0 <sup>&amp;</sup>	49/2 <sup>+</sup>		

<sup>†</sup> From least-squares fit to E $\gamma$ .

<sup>‡</sup> Authors' values based on DCO ratios and deduced rotational band structure.

<sup>#</sup> Band(A):  $\pi=+$  band,  $\alpha=+1/2$ .

<sup>@</sup> Band(B): 3-quasiparticle band,  $\alpha=+1/2$ . Possible Configuration= $((\pi 5/2[512])\otimes(\nu i_{13/2}^2))$ .

<sup>&</sup> Band(C): 9/2[624] band,  $\alpha=+1/2$ . Band crossing At  $\hbar\omega=0.31$  MeV with alignment gain  $6.5\hbar$ . Second band crossing At  $\hbar\omega\approx 0.5$  MeV with alignment gain of  $>3\hbar$  attributed to 1/2[541] ( $\pi h_{9/2}$ ) quasiproton pair alignment (1992Bu14).

<sup>154</sup>Sm(<sup>30</sup>Si,5n $\gamma$ ) **1992Bu14 (continued)**

<sup>179</sup>Os Levels (continued)

- <sup>a</sup> Band(c): 9/2[624] band,  $\alpha=-1/2$ . Band crossing At  $\hbar\omega=0.30$  MeV with alignment gain of  $5.5\hbar$ . Second band crossing At  $\hbar\omega=0.44$  MeV with alignment gain of  $\approx 2.5\hbar$  attributed to 1/2[541] ( $\pi$  h<sub>9/2</sub>) quasiproton pair alignment (1992Bu14).
- <sup>b</sup> Band(D): 7/2[514] band,  $\alpha=+1/2$ . Signature misprinted as  $\alpha=-1/2$  in 1992Bu14. intraband transition B(M1)/B(E2) ratios suggest Coriolis mixing with 5/2[512] band. Band crossing At  $\hbar\omega=0.28$  MeV with alignment gain  $\approx 11\hbar$  due to alignment of i<sub>13/2</sub> neutron pair.
- <sup>c</sup> Band(d): 7/2[514] band,  $\alpha=-1/2$ . Signature misprinted as  $\alpha=+1/2$  in 1992Bu14. Band crossing At  $\hbar\omega=0.27$  MeV with alignment gain  $\approx 11\hbar$  due to alignment of i<sub>13/2</sub> neutron pair.
- <sup>d</sup> Band(E): 5/2[523]? band. Probably mixed with 1/2[521] band. authors note that cranked shell-model calculations predict the 5/2[523] bandhead At considerably higher energy than observed for this band, but all other likely orbitals have already been assigned to other states In <sup>179</sup>Os (1992Bu14). band crossing At  $\hbar\omega=0.26$  MeV, alignment gain  $\approx 4.5\hbar$ .
- <sup>e</sup> Band(F): 5/2[512] band,  $\alpha=+1/2$ . Band crossing At  $\hbar\omega=0.22$  MeV with alignment gain  $\approx 8.5\hbar$  due to alignment of i<sub>13/2</sub> neutron pair. Assignment supported by intraband transition B(M1)/B(E2) values. Second band crossing At  $\hbar\omega=0.5$  MeV with alignment gain of  $>2\hbar$  attributed to 1/2[541] ( $\pi$  h<sub>9/2</sub>) quasiproton pair alignment (1992Bu14).
- <sup>f</sup> Band(f): 5/2[512] band,  $\alpha=-1/2$ . Band crossing At  $\hbar\omega=0.23$  MeV with alignment gain  $\approx 8.5\hbar$  due to alignment of i<sub>13/2</sub> neutron pair. Assignment supported by intraband transition B(M1)/B(E2) values.
- <sup>g</sup> Band(G): 1/2[521] band,  $\alpha=+1/2$ . Band crossing At  $\hbar\omega=0.23$  MeV with alignment gain  $>4.5\hbar$  due to alignment of i<sub>13/2</sub> neutron pair.
- <sup>h</sup> Band(g): 1/2[521] band,  $\alpha=-1/2$ . Band crossing At  $\hbar\omega=0.26$  MeV with alignment gain  $>8.5\hbar$  due to alignment of i<sub>13/2</sub> neutron pair.

$\gamma(^{179}\text{Os})$

$E_\gamma$ †	$I_\gamma$ ‡	$E_i$ (level)	$J_i^\pi$	$E_f$	$J_f^\pi$	Mult. #	Comments
45.2 @	$\leq 40$	145.5	7/2 <sup>-</sup>	100.3	5/2 <sup>-</sup>		
58.4 @	18.0 21	345.1	13/2 <sup>+</sup>	286.7	11/2 <sup>+</sup>		
86.3 @	22.5 16	86.3	3/2 <sup>-</sup>	0.0	1/2 <sup>-</sup>		
89.4	8.2 16	589.6	17/2 <sup>+</sup>	500.1	15/2 <sup>+</sup>		
95.5	2.2 6	210.7	7/2 <sup>-</sup>	115.2	5/2 <sup>-</sup>	D	DCO ratio=1.6 3.
97.5 @	132 7	243.0	9/2 <sup>+</sup>	145.5	7/2 <sup>-</sup>		
99.4	3.4 5	955.4	21/2 <sup>+</sup>	856.1	19/2 <sup>+</sup>		
100.3	26.5 17	100.3	5/2 <sup>-</sup>	0.0	1/2 <sup>-</sup>		
102.1	3.4 4	345.1	13/2 <sup>+</sup>	243.0	9/2 <sup>+</sup>		
109.6 &	5.8 & 5	195.9	(5/2) <sup>-</sup>	86.3	3/2 <sup>-</sup>		DCO ratio=1.11 20.
109.6 &	3.6 & 3	1427.5	25/2 <sup>+</sup>	1317.9	23/2 <sup>+</sup>		
125.9	6.8 10	336.6	9/2 <sup>-</sup>	210.7	7/2 <sup>-</sup>		DCO ratio=1.16 20.
127.6	21 4	273.1	9/2 <sup>-</sup>	145.5	7/2 <sup>-</sup>	D	DCO ratio=1.42 9.
150.6	5.2 13	487.2	11/2 <sup>-</sup>	336.6	9/2 <sup>-</sup>	D	DCO ratio=1.46 18.
151.3	11.9 16	424.5	11/2 <sup>-</sup>	273.1	9/2 <sup>-</sup>	D	DCO ratio=1.59 10.
154.9	34 5	500.1	15/2 <sup>+</sup>	345.1	13/2 <sup>+</sup>	D+Q	DCO ratio=2.18 12.
169.7	9.8 15	594.3	13/2 <sup>-</sup>	424.5	11/2 <sup>-</sup>	D	DCO ratio=1.69 16.
175.8	4.1 6	663.0	13/2 <sup>-</sup>	487.2	11/2 <sup>-</sup>	D	DCO ratio=1.84 22.
187.1	10.7 10	781.3	15/2 <sup>-</sup>	594.3	13/2 <sup>-</sup>	D	DCO ratio=1.37 13.
196.2	1.23 16	296.5	7/2 <sup>-</sup>	100.3	5/2 <sup>-</sup>		DCO ratio=1.28 15.
197.4	3.1 5	860.4	15/2 <sup>-</sup>	663.0	13/2 <sup>-</sup>	D	DCO ratio=1.38 17 (private communication to evaluator from J. Burde); misprinted as 1.38 7 in table 1 of 1992Bu14.
199.8	10.2 8	981.0	17/2 <sup>-</sup>	781.3	15/2 <sup>-</sup>	D	DCO ratio=1.78 9.
208.8 <sup>a</sup>		997.0	15/2 <sup>-</sup>	788.2	(13/2) <sup>-</sup>		
209.9		1948.8	23/2 <sup>-</sup>	1738.9	(21/2) <sup>-</sup>		
210.2	6.2 6	296.5	7/2 <sup>-</sup>	86.3	3/2 <sup>-</sup>	Q	DCO ratio=1.13 3.
213.3	7.4 10	1194.3	19/2 <sup>-</sup>	981.0	17/2 <sup>-</sup>	D	DCO ratio=1.58 16.
213.4	36 5	500.1	15/2 <sup>+</sup>	286.7	11/2 <sup>+</sup>	Q	DCO ratio=1.07 6.

Continued on next page (footnotes at end of table)

$^{154}\text{Sm}(^{30}\text{Si},5n\gamma)$  **1992Bu14 (continued)** $\gamma(^{179}\text{Os})$  (continued)

$E_\gamma$ †	$I_\gamma$ ‡	$E_i$ (level)	$J_i^\pi$	$E_f$	$J_f^\pi$	Mult. #	Comments
217.7	2.4 4	1078.1	17/2 <sup>-</sup>	860.4	15/2 <sup>-</sup>		DCO ratio=1.19 21.
219.0	1.6 3	1448.4	19/2 <sup>-</sup>	1229.4	(17/2) <sup>-</sup>		
219.9	16.3 10	320.2	9/2 <sup>-</sup>	100.3	5/2 <sup>-</sup>	Q	DCO ratio=1.15 10.
221.4	3.0 10	336.6	9/2 <sup>-</sup>	115.2	5/2 <sup>-</sup>		
223.5	7.5 6	1417.8	21/2 <sup>-</sup>	1194.3	19/2 <sup>-</sup>	D	DCO ratio=1.86 16.
236.6	9.5 6	1654.3	23/2 <sup>-</sup>	1417.8	21/2 <sup>-</sup>	D	DCO ratio=1.459 17 in 1992Bu14 is probably a misprint of 1.46 17.
238.5	1.6 7	663.0	13/2 <sup>-</sup>	424.5	11/2 <sup>-</sup>		
240.6	21.2 6	436.5	(9/2) <sup>-</sup>	195.9	(5/2) <sup>-</sup>	Q	DCO ratio=1.13 13.
243.3	2.5 10	2872.9	33/2 <sup>-</sup>	2629.7	29/2 <sup>-</sup>		
244.5	49 8	589.6	17/2 <sup>+</sup>	345.1	13/2 <sup>+</sup>	Q	DCO ratio=1.07 9.
245.2	5.8 5	1899.4	25/2 <sup>-</sup>	1654.3	23/2 <sup>-</sup>	D	DCO ratio=1.66 19.
258.0	2.1 6	2417.9	29/2 <sup>-</sup>	2159.9	27/2 <sup>-</sup>	D	DCO ratio=2.0 3.
260.5	4.0 5	2159.9	27/2 <sup>-</sup>	1899.4	25/2 <sup>-</sup>	D	DCO ratio=1.67 17.
266.5	19 5	856.1	19/2 <sup>+</sup>	589.6	17/2 <sup>+</sup>		
266.8	3.5 6	1833.4	23/2 <sup>-</sup>	1566.6	21/2 <sup>-</sup>	D	DCO ratio=1.7 4.
276.5	6.6 16	487.2	11/2 <sup>-</sup>	210.7	7/2 <sup>-</sup>	Q	DCO ratio=1.13 15.
279.0	42 5	424.5	11/2 <sup>-</sup>	145.5	7/2 <sup>-</sup>	Q	DCO ratio=1.17 8.
287.0	2.7 3	607.2	11/2 <sup>-</sup>	320.2	9/2 <sup>-</sup>		DCO ratio=1.07 19.
289.3	3.5 8	2998.5	33/2 <sup>-</sup>	2709.2	31/2 <sup>-</sup>		
291.3	3.0 8	2709.2	31/2 <sup>-</sup>	2417.9	29/2 <sup>-</sup>		
302.3	1.6 3	3300.9	35/2 <sup>-</sup>	2998.5	33/2 <sup>-</sup>		
310.7	12.4 10	607.2	11/2 <sup>-</sup>	296.5	7/2 <sup>-</sup>	Q	DCO ratio=0.93 12.
318.0	3.7 10	981.0	17/2 <sup>-</sup>	663.0	13/2 <sup>-</sup>		
321.2&	47& 5	594.3	13/2 <sup>-</sup>	273.1	9/2 <sup>-</sup>	Q	DCO ratio=1.17 8.
321.2&	12.2& 8	641.4	13/2 <sup>-</sup>	320.2	9/2 <sup>-</sup>	Q	DCO ratio=1.13 10.
326.4	11.8 16	663.0	13/2 <sup>-</sup>	336.6	9/2 <sup>-</sup>	Q	DCO ratio=1.01 12.
328.4	7.7 16	4260.2	41/2 <sup>-</sup>	3931.8	39/2 <sup>-</sup>		
332.7	1.3 7	1899.4	25/2 <sup>-</sup>	1566.6	21/2 <sup>-</sup>		
335.7	2.5 8	5604.4	49/2 <sup>-</sup>	5268.8	47/2 <sup>-</sup>		
337.4	1.7 5	4929.7	45/2 <sup>-</sup>	4592.3	43/2 <sup>-</sup>		
339.7	2.0 7	1417.8	21/2 <sup>-</sup>	1078.1	17/2 <sup>-</sup>		
351.7	23.7 13	788.2	(13/2) <sup>-</sup>	436.5	(9/2) <sup>-</sup>	Q	DCO ratio=1.15 12.
356.0	54.3 24	856.1	19/2 <sup>+</sup>	500.1	15/2 <sup>+</sup>	Q	DCO ratio=1.15 11.
356.8	54 4	781.3	15/2 <sup>-</sup>	424.5	11/2 <sup>-</sup>	Q	DCO ratio=1.09 8.
362.5		1317.9	23/2 <sup>+</sup>	955.4	21/2 <sup>+</sup>		
364.7	1.9 7	2471.5	29/2 <sup>-</sup>	2106.7	25/2 <sup>-</sup>		
365.8	100 8	955.4	21/2 <sup>+</sup>	589.6	17/2 <sup>+</sup>	Q	DCO ratio=1.08 7.
373.2	12.9 13	860.4	15/2 <sup>-</sup>	487.2	11/2 <sup>-</sup>	Q	DCO ratio=1.16 17.
386.7	51 3	981.0	17/2 <sup>-</sup>	594.3	13/2 <sup>-</sup>	Q	DCO ratio=1.07 8.
389.8	11.9 11	997.0	15/2 <sup>-</sup>	607.2	11/2 <sup>-</sup>	Q	DCO ratio=0.85 14.
400.4	11.9 8	1041.8	17/2 <sup>-</sup>	641.4	13/2 <sup>-</sup>	Q	DCO ratio=1.02 9.
401.4	12 3	2872.9	33/2 <sup>-</sup>	2471.5	29/2 <sup>-</sup>	Q	DCO ratio=1.03 9.
412.9	44 4	1194.3	19/2 <sup>-</sup>	781.3	15/2 <sup>-</sup>	Q	DCO ratio=1.02 8.
415.1	11.6 11	1078.1	17/2 <sup>-</sup>	663.0	13/2 <sup>-</sup>	Q	DCO ratio=1.15 13.
424.0	12.0 11	1851.5	27/2 <sup>+</sup>	1427.5	25/2 <sup>+</sup>	D	DCO ratio=1.8 4.
435.9 <sup>a</sup>		860.4	15/2 <sup>-</sup>	424.5	11/2 <sup>-</sup>		
436.8	61 4	1417.8	21/2 <sup>-</sup>	981.0	17/2 <sup>-</sup>	Q	DCO ratio=1.08 8.
440.4		3699.5	39/2 <sup>+</sup>	3259.1	37/2 <sup>+</sup>	D	DCO ratio=1.9 4; $I_\gamma=17.2$ 24 for 440.4 $\gamma$ +442 $\gamma$ doublet.
441.2	16.4 11	1229.4	(17/2) <sup>-</sup>	788.2	(13/2) <sup>-</sup>	Q	DCO ratio=1.18 13.
441.8	12.9 11	2818.7	31/2 <sup>-</sup>	2376.9	27/2 <sup>-</sup>	Q	DCO ratio=1.14 12.
442		3046.1	35/2 <sup>+</sup>	2604.1	33/2 <sup>+</sup>	D	DCO ratio=1.55 15; $I_\gamma=17.2$ 24 for 440.4 $\gamma$ +442 $\gamma$ doublet.
445.8	12.3 11	2431.4	31/2 <sup>+</sup>	1985.5	29/2 <sup>+</sup>		DCO ratio=1.4 3.
451.4	10.1 13	1448.4	19/2 <sup>-</sup>	997.0	15/2 <sup>-</sup>	Q	DCO ratio=0.96 13.
455.0	20 3	2872.9	33/2 <sup>-</sup>	2417.9	29/2 <sup>-</sup>	Q	DCO ratio=1.03 9.

Continued on next page (footnotes at end of table)

$^{154}\text{Sm}(^{30}\text{Si},5n\gamma)$  **1992Bu14 (continued)**

$\gamma(^{179}\text{Os})$  (continued)

$E_\gamma$ †	$I_\gamma$ ‡	$E_i(\text{level})$	$J_i^\pi$	$E_f$	$J_f^\pi$	Mult. #	Comments
455.5		1315.9	19/2 <sup>-</sup>	860.4	15/2 <sup>-</sup>		$I_\gamma=18.5$ 24, DCO ratio=1.12 9 for 455.5 $\gamma$ +455.8 $\gamma$ doublet.
455.8		3274.5	35/2 <sup>-</sup>	2818.7	31/2 <sup>-</sup>		$I_\gamma=18.5$ 24, DCO ratio=1.12 9 for 455.5 $\gamma$ +455.8 $\gamma$ doublet.
460.1	46 4	1654.3	23/2 <sup>-</sup>	1194.3	19/2 <sup>-</sup>	Q	DCO ratio=0.99 9.
461.3	11.6 8	1503.1	21/2 <sup>-</sup>	1041.8	17/2 <sup>-</sup>	Q	DCO ratio=0.99 10.
461.9	46 4	1317.9	23/2 <sup>+</sup>	856.1	19/2 <sup>+</sup>	Q	DCO ratio=1.14 12.
472.1	99 5	1427.5	25/2 <sup>+</sup>	955.4	21/2 <sup>+</sup>	Q	DCO ratio=1.01 7.
481.6	50 3	1899.4	25/2 <sup>-</sup>	1417.8	21/2 <sup>-</sup>	Q	DCO ratio=1.05 8.
488.4	14.6 24	1566.6	21/2 <sup>-</sup>	1078.1	17/2 <sup>-</sup>	Q	DCO ratio=1.13 16.
500.4	9.0 13	1948.8	23/2 <sup>-</sup>	1448.4	19/2 <sup>-</sup>	Q	DCO ratio=0.93 13.
505.6	45 4	2159.9	27/2 <sup>-</sup>	1654.3	23/2 <sup>-</sup>	Q	DCO ratio=0.95 8.
506.9	21 5	3379.8	37/2 <sup>-</sup>	2872.9	33/2 <sup>-</sup>	Q	DCO ratio=1.04 9.
508.1	10.3 8	2011.2	25/2 <sup>-</sup>	1503.1	21/2 <sup>-</sup>	Q	DCO ratio=1.06 10.
509.5	15.2 11	1738.9	(21/2) <sup>-</sup>	1229.4	(17/2) <sup>-</sup>	Q	DCO ratio=1.0 1.
517.6	12.9 11	1833.4	23/2 <sup>-</sup>	1315.9	19/2 <sup>-</sup>	Q	DCO ratio=1.03 12.
518.4	36.0 24	2417.9	29/2 <sup>-</sup>	1899.4	25/2 <sup>-</sup>	Q	DCO ratio=0.99 8.
523.0	8.7 10	2629.7	29/2 <sup>-</sup>	2106.7	25/2 <sup>-</sup>	Q	DCO ratio=0.94 10.
533.6	49.4 10	1851.5	27/2 <sup>+</sup>	1317.9	23/2 <sup>+</sup>	Q	DCO ratio=1.01 8.
534.3	10.0 10	3808.8	39/2 <sup>-</sup>	3274.5	35/2 <sup>-</sup>	Q	DCO ratio=1.02 12.
540.2	9.8 11	2106.7	25/2 <sup>-</sup>	1566.6	21/2 <sup>-</sup>	Q	DCO ratio=0.92 11.
540.3	7.2 12	2489.1	27/2 <sup>-</sup>	1948.8	23/2 <sup>-</sup>	Q	DCO ratio=0.86 17.
543.5	13.2 10	2376.9	27/2 <sup>-</sup>	1833.4	23/2 <sup>-</sup>	Q	DCO ratio=1.06 13.
549.2	28 3	2709.2	31/2 <sup>-</sup>	2159.9	27/2 <sup>-</sup>	Q	DCO ratio=1.02 9.
553.0	6.5 6	2564.2	29/2 <sup>-</sup>	2011.2	25/2 <sup>-</sup>	Q	DCO ratio=0.99 12.
558.0	94 5	1985.5	29/2 <sup>+</sup>	1427.5	25/2 <sup>+</sup>	Q	DCO ratio=1.00 8.
559.0	10.3 10	2297.9	(25/2) <sup>-</sup>	1738.9	(21/2) <sup>-</sup>		
572.0	20 3	2471.5	29/2 <sup>-</sup>	1899.4	25/2 <sup>-</sup>	Q	DCO ratio=0.97 10.
579.8	42 8	2431.4	31/2 <sup>+</sup>	1851.5	27/2 <sup>+</sup>	Q	$E_\gamma$ : 579.81 given in 1992Bu14 is presumed by evaluator to be a misprint. DCO ratio=1.01 11.
580.7	22.0 24	2998.5	33/2 <sup>-</sup>	2417.9	29/2 <sup>-</sup>	Q	DCO ratio=0.95 11.
584.1	5.5 10	3073.2	31/2 <sup>-</sup>	2489.1	27/2 <sup>-</sup>	Q	DCO ratio=0.88 18.
585.1	21 3	3964.9	41/2 <sup>-</sup>	3379.8	37/2 <sup>-</sup>	Q	DCO ratio=1.05 10.
587.6	5.7 6	3151.8	33/2 <sup>-</sup>	2564.2	29/2 <sup>-</sup>	Q	DCO ratio=0.95 12.
591.8	24.7 24	3300.9	35/2 <sup>-</sup>	2709.2	31/2 <sup>-</sup>	Q	DCO ratio=0.93 9.
596.4	9.0 10	2894.3	(29/2) <sup>-</sup>	2297.9	(25/2) <sup>-</sup>	Q	DCO ratio=1.14 14.
612.6	10.9 13	4421.4	43/2 <sup>-</sup>	3808.8	39/2 <sup>-</sup>	Q	DCO ratio=1.00 13.
614.8	59 10	3046.1	35/2 <sup>+</sup>	2431.4	31/2 <sup>+</sup>	Q	$I_\gamma$ : from private communication to evaluator from J. Burde; misprinted as 59 6 in table 1 of 1992Bu14. DCO ratio=0.96 9.
617.9	13.1 16	3616.4	37/2 <sup>-</sup>	2998.5	33/2 <sup>-</sup>	Q	DCO ratio=1.00 10.
618.6	69 5	2604.1	33/2 <sup>+</sup>	1985.5	29/2 <sup>+</sup>	Q	DCO ratio=0.97 8.
625	5.8 7	3519.3	(33/2) <sup>-</sup>	2894.3	(29/2) <sup>-</sup>	Q	DCO ratio=0.99 13.
630.9	20.5 21	3931.8	39/2 <sup>-</sup>	3300.9	35/2 <sup>-</sup>	Q	DCO ratio=1.02 12.
632.5	3.7 5	3784.3	37/2 <sup>-</sup>	3151.8	33/2 <sup>-</sup>		
643.5	14.7 8	4563.8	45/2 <sup>+</sup>	3920.3	41/2 <sup>+</sup>	Q	DCO ratio=0.86 14.
643.8	12 3	4260.2	41/2 <sup>-</sup>	3616.4	37/2 <sup>-</sup>	Q	DCO ratio=0.93 9.
644.9	16 3	4609.8	45/2 <sup>-</sup>	3964.9	41/2 <sup>-</sup>	Q	DCO ratio=0.95 13.
653.4	48 11	3699.5	39/2 <sup>+</sup>	3046.1	35/2 <sup>+</sup>		
655.0	60 4	3259.1	37/2 <sup>+</sup>	2604.1	33/2 <sup>+</sup>	Q	DCO ratio=0.97 8.
660.5	11.8 16	4592.3	43/2 <sup>-</sup>	3931.8	39/2 <sup>-</sup>	Q	DCO ratio=1.06 15.
661.2	27 3	3920.3	41/2 <sup>+</sup>	3259.1	37/2 <sup>+</sup>	Q	DCO ratio=0.96 10.
669.5	11.8 16	4929.7	45/2 <sup>-</sup>	4260.2	41/2 <sup>-</sup>	Q	DCO ratio=1.03 12.
674.6	9.2 24	5604.4	49/2 <sup>-</sup>	4929.7	45/2 <sup>-</sup>		
676.6	10.7 11	5268.8	47/2 <sup>-</sup>	4592.3	43/2 <sup>-</sup>	Q	DCO ratio=1.03 11.
679.6	7.8 8	5101.0	47/2 <sup>-</sup>	4421.4	43/2 <sup>-</sup>	Q	DCO ratio=1.01 15.
680.4	2.3 3	4464.7	41/2 <sup>-</sup>	3784.3	37/2 <sup>-</sup>	Q	DCO ratio=0.86 16.

Continued on next page (footnotes at end of table)

$^{154}\text{Sm}(^{30}\text{Si},5n\gamma)$  **1992Bu14 (continued)** $\gamma(^{179}\text{Os})$  (continued)

$E_\gamma$ †	$I_\gamma$ ‡	$E_i(\text{level})$	$J_i^\pi$	$E_f$	$J_f^\pi$	Mult. #	Comments
693.0	4.2 8	4212.3	(37/2) <sup>-</sup>	3519.3	(33/2) <sup>-</sup>	(Q)	DCO ratio=0.6 4.
697.3	10.8 24	5307.1	49/2 <sup>-</sup>	4609.8	45/2 <sup>-</sup>	Q	DCO ratio=1.06 13.
699.4	12.1 16	4720.5	45/2 <sup>+</sup>	4021.1	41/2 <sup>+</sup>		
699.6	28 10	4399.1	43/2 <sup>+</sup>	3699.5	39/2 <sup>+</sup>	Q	DCO ratio=1.10 10.
709.2	7.4 10	5978.0	51/2 <sup>-</sup>	5268.8	47/2 <sup>-</sup>	Q	DCO ratio=1.04 16.
713.0	1.28 24	5177.7	45/2 <sup>-</sup>	4464.7	41/2 <sup>-</sup>	Q	DCO ratio=0.97 17.
717.4	5.3 11	6321.8	53/2 <sup>-</sup>	5604.4	49/2 <sup>-</sup>	Q	DCO ratio=1.04 17.
727.2	11.5 5	5291.0	49/2 <sup>+</sup>	4563.8	45/2 <sup>+</sup>	Q	DCO ratio=1.10 12.
733.5	6.0 6	5834.5	51/2 <sup>-</sup>	5101.0	47/2 <sup>-</sup>	Q	DCO ratio=0.99 17.
748.5	21 5	5147.6	47/2 <sup>+</sup>	4399.1	43/2 <sup>+</sup>	Q	$I_\gamma$ : from private communication to evaluator from J. Burde; misprinted as 21 8 in table 1 of 1992Bu14.
							DCO ratio=1.09 12.
760.8	6.1 8	6738.8	55/2 <sup>-</sup>	5978.0	51/2 <sup>-</sup>	Q	DCO ratio=0.97 13.
762.0	12.6 11	4021.1	41/2 <sup>+</sup>	3259.1	37/2 <sup>+</sup>	Q	DCO ratio=1.07 12.
764.7	10.9 24	6071.8	53/2 <sup>-</sup>	5307.1	49/2 <sup>-</sup>	Q	DCO ratio=1.05 12.
768.2	3.2 8	7090.0	(57/2) <sup>-</sup>	6321.8	53/2 <sup>-</sup>		
771.5	11.6 16	5492.0	49/2 <sup>+</sup>	4720.5	45/2 <sup>+</sup>	Q	DCO ratio=0.91 13.
787.0	5.1 6	6621.5	55/2 <sup>-</sup>	5834.5	51/2 <sup>-</sup>	Q	DCO ratio=0.94 18.
797.6	20 6	5945.2	51/2 <sup>+</sup>	5147.6	47/2 <sup>+</sup>	Q	DCO ratio=0.91 10.
800.2	6.8 11	4720.5	45/2 <sup>+</sup>	3920.3	41/2 <sup>+</sup>	Q	DCO ratio=0.91 22.
814.5	2.5 10	7553.3	59/2 <sup>-</sup>	6738.8	55/2 <sup>-</sup>	Q	DCO ratio=1.15 24.
814.7	7.6 8	6306.7	53/2 <sup>+</sup>	5492.0	49/2 <sup>+</sup>	Q	DCO ratio=1.04 14.
827.9	9.0 5	6118.9	53/2 <sup>+</sup>	5291.0	49/2 <sup>+</sup>	Q	DCO ratio=0.88 13.
841.7	27 10	6786.9	55/2 <sup>+</sup>	5945.2	51/2 <sup>+</sup>	Q	DCO ratio=1.29 17.
845.9	8.9 16	6917.7	57/2 <sup>-</sup>	6071.8	53/2 <sup>-</sup>	Q	DCO ratio=1.19 16.
850.7	7.5 5	7157.4	57/2 <sup>+</sup>	6306.7	53/2 <sup>+</sup>	Q	DCO ratio=1.22 19.
852.4	5.4 8	7473.9	59/2 <sup>-</sup>	6621.5	55/2 <sup>-</sup>	Q	DCO ratio=1.08 20.
853.0	2.9 11	8406.3	63/2 <sup>-</sup>	7553.3	59/2 <sup>-</sup>	Q	DCO ratio=1.09 18.
862.0	5.1 6	8019.4	61/2 <sup>+</sup>	7157.4	57/2 <sup>+</sup>	Q	DCO ratio=0.84 21. $\gamma$ absent in ( $^{34}\text{S},5n\gamma$ ).
880.0	15 3	7666.9	59/2 <sup>+</sup>	6786.9	55/2 <sup>+</sup>	Q	DCO ratio=1.01 22.
889.0	14 5	8555.9	63/2 <sup>+</sup>	7666.9	59/2 <sup>+</sup>	Q	DCO ratio=1.1 3. Tentatively placed elsewhere in ( $^{34}\text{S},5n\gamma$ ).
920.0	6.9 14	7038.9	57/2 <sup>+</sup>	6118.9	53/2 <sup>+</sup>	Q	DCO ratio=1.03 17.
926.0	4.0 8	7843.7	61/2 <sup>-</sup>	6917.7	57/2 <sup>-</sup>	Q	DCO ratio=1.11 24.
977 <sup>a</sup>	3.2 16	9533?	(67/2) <sup>+</sup>	8555.9	63/2 <sup>+</sup>		
978.0	4.4 11	8016.9	61/2 <sup>+</sup>	7038.9	57/2 <sup>+</sup>	Q	DCO ratio=0.89 22.
995.0	2.6 8	8838.7	65/2 <sup>-</sup>	7843.7	61/2 <sup>-</sup>		
1004 <sup>a</sup>	4.2 16	9021?	(65/2) <sup>+</sup>	8016.9	61/2 <sup>+</sup>		
1022 <sup>a</sup>	3.0 14	10043?	(69/2) <sup>+</sup>	9021?	(65/2) <sup>+</sup>		
1028.4 <sup>a</sup>	1.5 5	9867.1?	(69/2) <sup>-</sup>	8838.7	65/2 <sup>-</sup>		
1154.1 <sup>a</sup>	0.9 3	11021.2?	(73/2) <sup>-</sup>	9867.1?	(69/2) <sup>-</sup>		

†  $\Delta E_\gamma$  not stated by authors; however,  $E_\gamma$  typically deviates by  $\leq 0.2$  keV from data in ( $^{16}\text{O},4n\gamma$ ) and  $^{179}\text{Ir}$   $\epsilon$  decay.

‡ Relative photon intensity.

# From DCO ratios (1992Bu14) with stretched Q transitions in gate. Expected values of DCO ratios are: 1 for stretched Q or D( $\Delta J=0$ ); 1.2-2.0 for stretched D or Q( $\Delta J=0$ ) (depending on deorientation);  $\approx 0.85$  to 5 for D+Q transitions, depending on  $\delta$  and deorientation.

@ From Adopted Gammas.

& Multiply placed with intensity suitably divided.

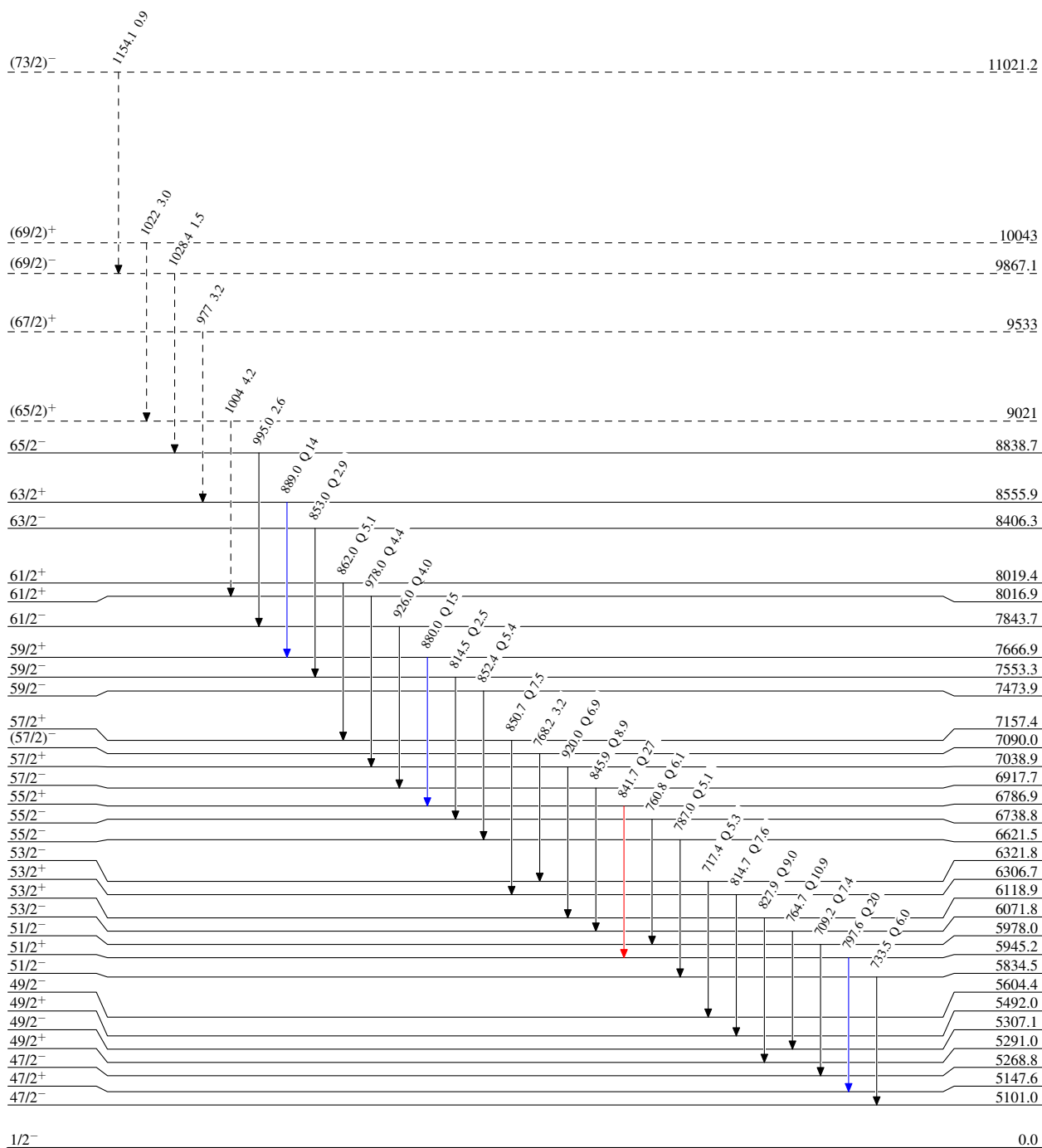
<sup>a</sup> Placement of transition in the level scheme is uncertain.

$^{154}\text{Sm}(^{30}\text{Si},5n\gamma)$  1992Bu14

Legend

Level Scheme  
 Intensities: Relative  $I_\gamma$

- $I_\gamma < 2\% \times I_\gamma^{\max}$
- $I_\gamma < 10\% \times I_\gamma^{\max}$
- $I_\gamma > 10\% \times I_\gamma^{\max}$
- - - - -→  $\gamma$  Decay (Uncertain)



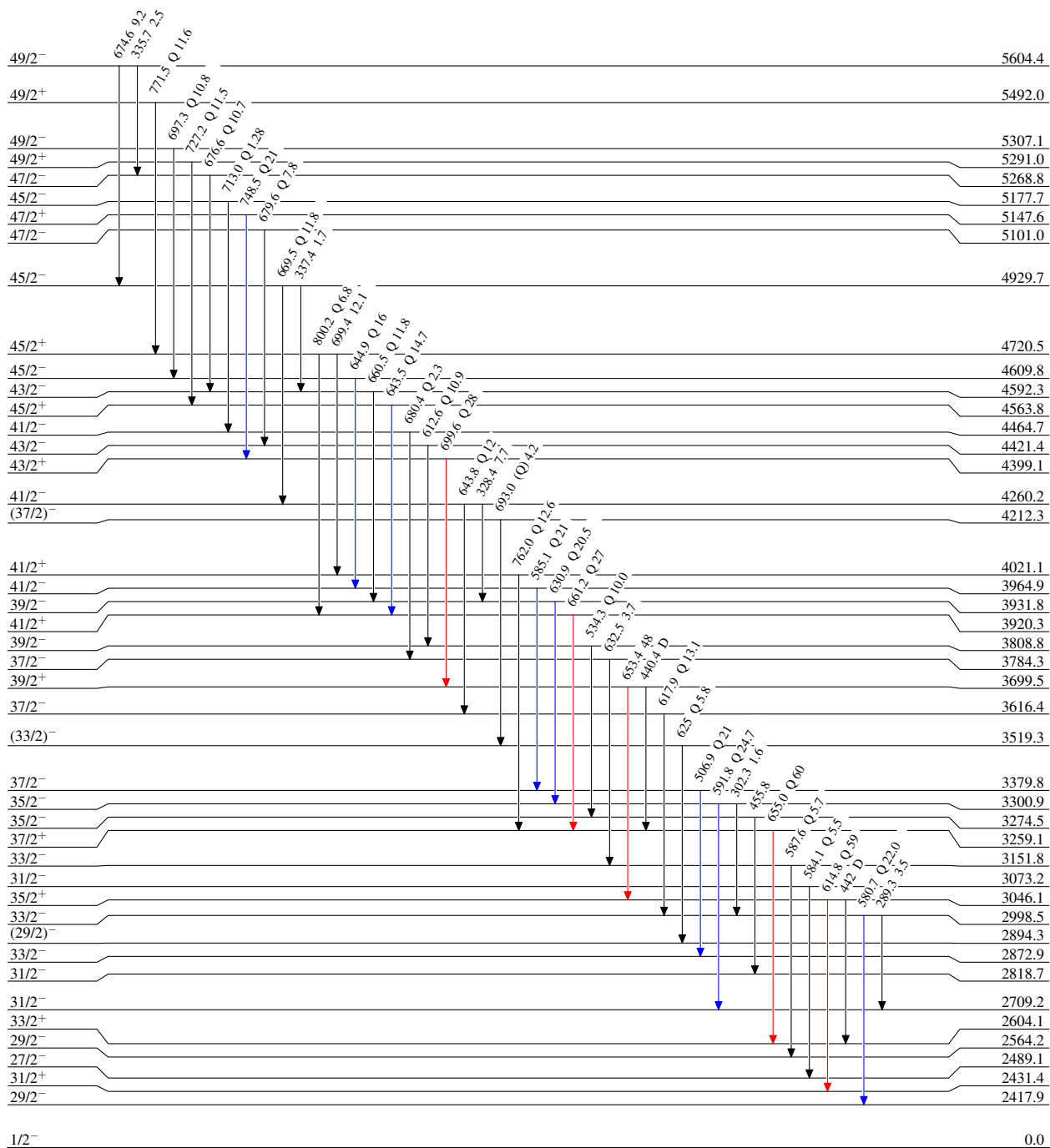
$^{154}\text{Sm}(^{30}\text{Si},5n\gamma)$  1992Bu14

## Level Scheme (continued)

Intensities: Relative  $I_\gamma$ 

## Legend

- $I_\gamma < 2\% \times I_\gamma^{\text{max}}$
- $I_\gamma < 10\% \times I_\gamma^{\text{max}}$
- $I_\gamma > 10\% \times I_\gamma^{\text{max}}$



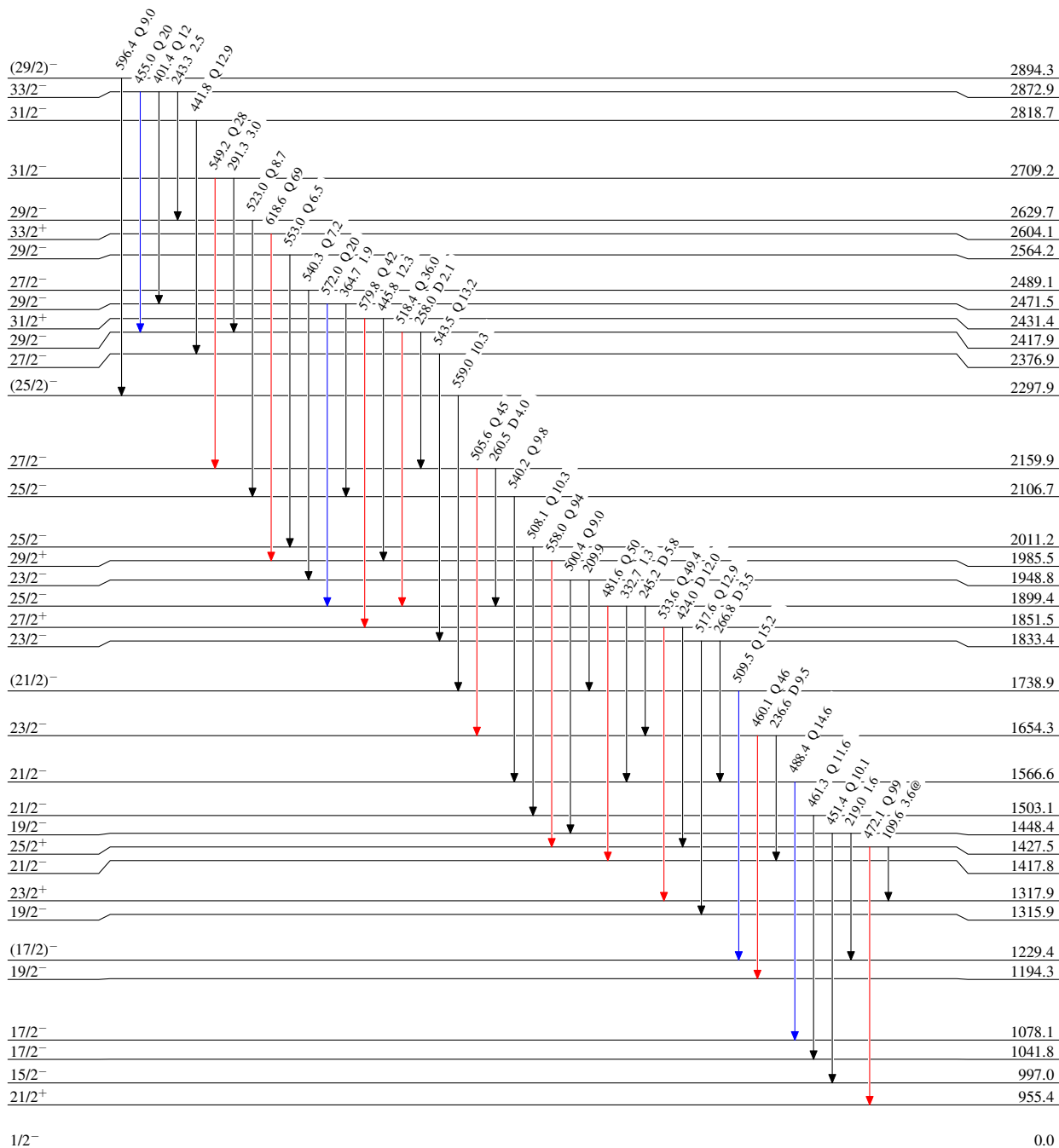
<sup>154</sup>Sm(<sup>30</sup>Si,5n $\gamma$ ) 1992Bu14

Level Scheme (continued)

Legend

Intensities: Relative I $\gamma$   
@ Multiply placed: intensity suitably divided

- I $\gamma$  < 2%  $\times$  I $\gamma^{max}$
- I $\gamma$  < 10%  $\times$  I $\gamma^{max}$
- I $\gamma$  > 10%  $\times$  I $\gamma^{max}$





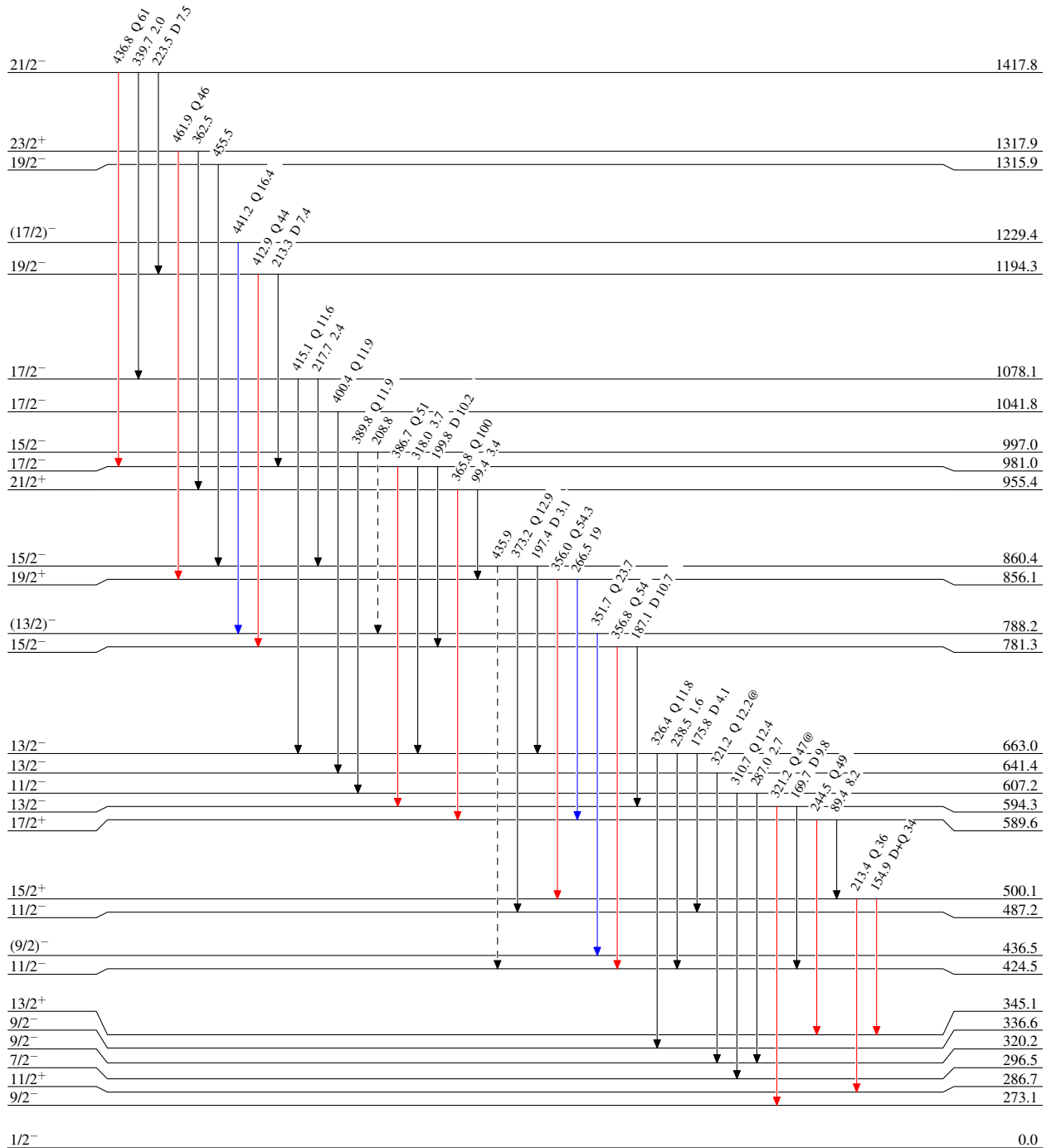
$^{154}\text{Sm}(^{30}\text{Si},5n\gamma)$  1992Bu14

## Level Scheme (continued)

Intensities: Relative  $I_\gamma$   
 @ Multiply placed: intensity suitably divided

## Legend

- $I_\gamma < 2\% \times I_\gamma^{\max}$
- $I_\gamma < 10\% \times I_\gamma^{\max}$
- $I_\gamma > 10\% \times I_\gamma^{\max}$
- - - - -→  $\gamma$  Decay (Uncertain)



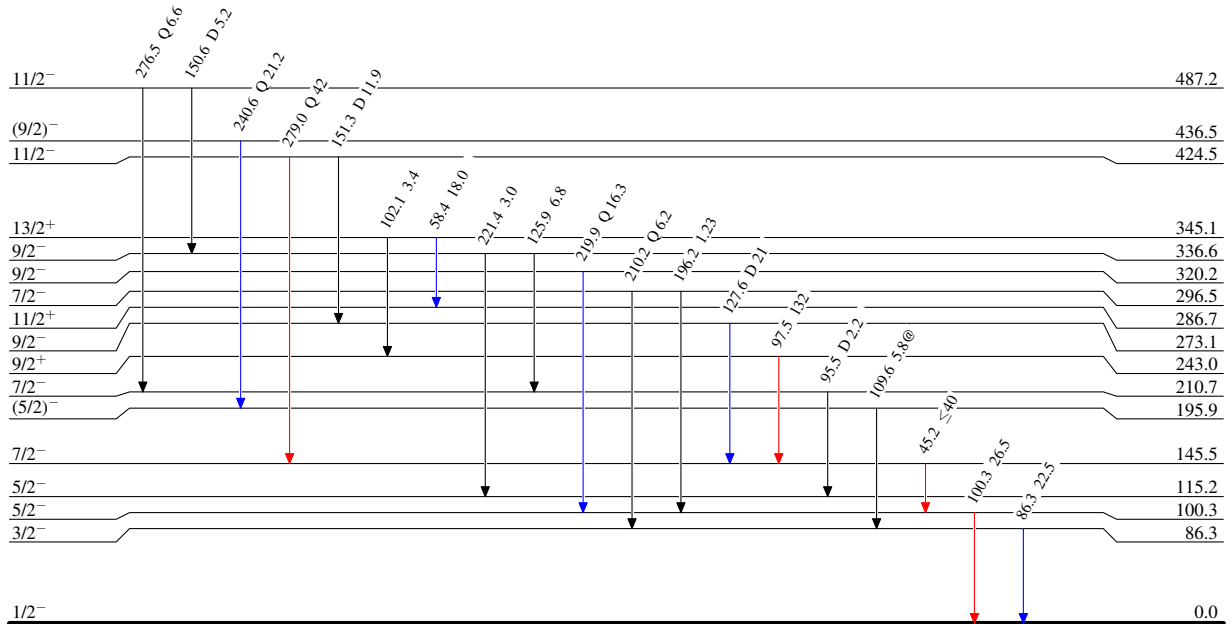
$^{154}\text{Sm}(\text{}^{30}\text{Si}, 5n\gamma)$  1992Bu14

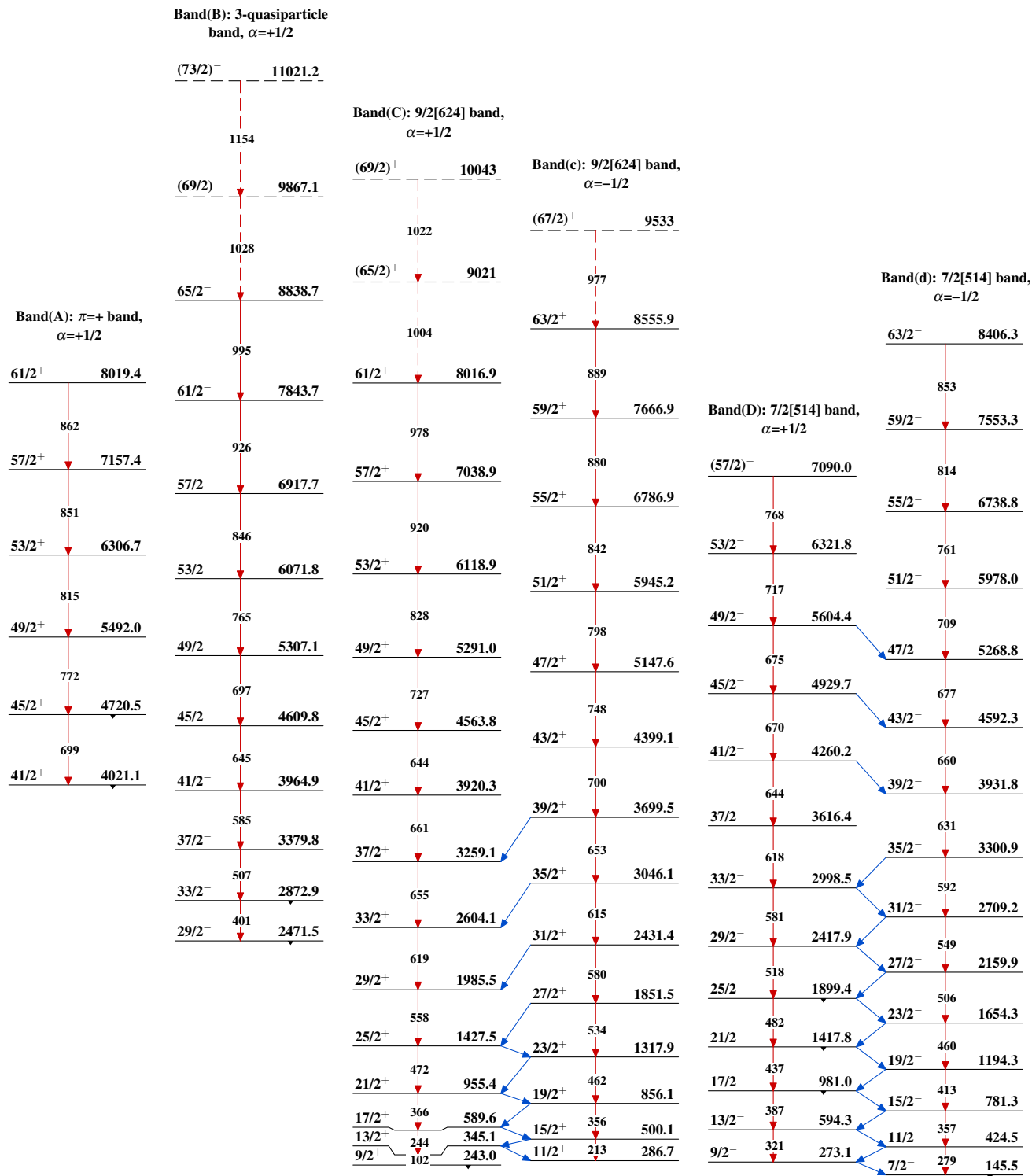
## Level Scheme (continued)

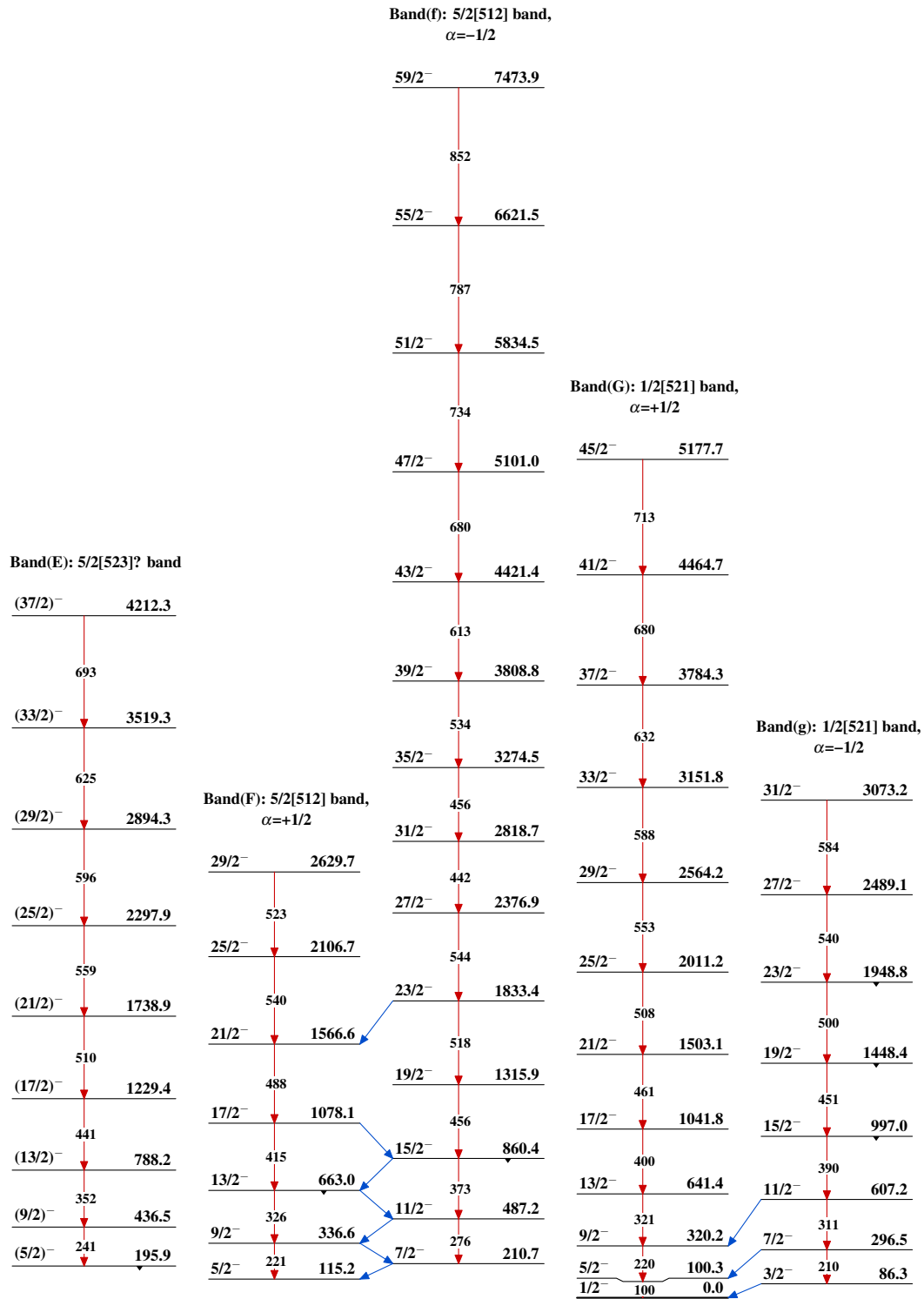
Intensities: Relative  $I_\gamma$   
 @ Multiply placed: intensity suitably divided

## Legend

—→  $I_\gamma < 2\% \times I_\gamma^{\text{max}}$   
 —→  $I_\gamma < 10\% \times I_\gamma^{\text{max}}$   
 —→  $I_\gamma > 10\% \times I_\gamma^{\text{max}}$

 $^{179}_{76}\text{Os}_{103}$

$^{154}\text{Sm}(^{30}\text{Si},5n\gamma)$  1992Bu14

$^{154}\text{Sm}(^{30}\text{Si},5n\gamma)$  1992Bu14 (continued) $^{179}_{76}\text{Os}_{103}$